

# **Naprawianie automatów skończonych z brakującymi stanami i krawędziami**

Repairing Finite Automata  
with Missing Components

**Julia Cygan, Patryk Flama**

Praca inżynierska

**Promotor:** dr hab. Jakub Michaliszyn

Uniwersytet Wrocławski  
Wydział Matematyki i Informatyki  
Instytut Informatyki

17 stycznia 2026



**Julia Cygan**

.....  
(adres zameldowania)

.....  
(adres korespondencyjny)

PESEL: .....

e-mail: .....

Wydział Matematyki i Informatyki  
stacjonarne studia I stopnia  
kierunek: informatyka  
nr albumu: .....

**Patryk Flama**

.....  
(adres zameldowania)

.....  
(adres korespondencyjny)

PESEL: .....

e-mail: .....

Wydział Matematyki i Informatyki  
stacjonarne studia I stopnia  
kierunek: informatyka  
nr albumu: .....

### **Oświadczenie o autorskim wykonaniu pracy dyplomowej**

Niniejszym oświadczamy, że złożoną do oceny pracę zatytułowaną *Naprawianie automatów skończonych z brakującymi stanami i krawędziami* wykonaliśmy samodzielnie pod kierunkiem promotora, dr Jakuba Michalszyna. Oświadczamy, że powyższe dane są zgodne ze stanem faktycznym i znane nam są przepisy ustawy z dn. 4 lutego 1994 r. o prawie autorskim i prawach pokrewnych (tekst jednolity: Dz. U. z 2006 r. nr 90, poz. 637, z późniejszymi zmianami) oraz że treść pracy dyplomowej przedstawionej do obrony, zawarta na przekazanym nośniku elektronicznym, jest identyczna z jej wersją drukowaną.

Wrocław, 17 stycznia 2026

.....  
(czytelny podpis)

.....  
(czytelny podpis)

# Abstract

Niniejsza praca dotyczy zagadnienia naprawy uszkodzonego deterministycznego automatu skończonego na podstawie próbek pozytywnych i negatywnych. Rozważany automat może zawierać brakujące krawędzie lub stany, co uniemożliwia jego poprawne działanie. W pracy analizowana jest złożoność obliczeniowa problemu, w tym jego przynależność do klasy NP oraz własności parametryzowane w kontekście algorytmów FPT i hierarchii W. Zaproponowano algorytm rozwiązujący rozważany problem, przeprowadzono jego analizę teoretyczną oraz przedstawiono implementację wraz z omówieniem optymalizacji i heurystyk wpływających na czas działania.

---

This thesis addresses the problem of repairing a damaged deterministic finite automaton using positive and negative samples. The considered automaton may contain missing transitions or states, which prevents it from functioning correctly. The work analyzes the computational complexity of the problem, including its membership in the class NP and its parameterized properties in the context of FPT algorithms and the W-hierarchy. An algorithm for solving the problem is proposed, followed by its theoretical analysis, as well as an implementation accompanied by a discussion of optimizations and heuristics affecting the running time.

# Spis treści

<b>1 Wstęp</b>	<b>3</b>
<b>2 Teoria</b>	<b>5</b>
2.1 Definicja problemu, framework . . . . .	5
2.1.1 Definicja problemu . . . . .	5
2.1.2 Trywialność przypadku brakujących stanów . . . . .	6
2.1.3 Definicja problemu (uproszczona) . . . . .	6
2.2 NP-zupełność . . . . .	6
2.2.1 Przynależność do NP . . . . .	6
2.2.2 NP-trudność . . . . .	6
2.3 FPT . . . . .	6
2.3.1 W[1]-trudność . . . . .	6
2.3.2 W[2]-trudność . . . . .	12
2.3.3 Przynależność do W[P] . . . . .	12
<b>3 Algorytmy</b>	<b>13</b>
3.1 Podejście Brute Force . . . . .	13
3.2 Algorytm ze skokami (Jump Tables) . . . . .	13
3.3 Heurystyka naprawy automatu z losowymi restartami . . . . .	15
<b>4 Implementacja</b>	<b>16</b>
<b>5 Eksperymenty</b>	<b>17</b>
5.1 Środowisko . . . . .	17
5.2 Sposób testowania . . . . .	17
5.3 Wyniki . . . . .	18
<b>6 Podsumowanie</b>	<b>20</b>
<b>Bibliografia</b>	<b>20</b>
<b>A Aneks</b>	<b>22</b>
A.1 Podział pracy . . . . .	22

# Rozdział 1

## Wstęp

Teoria automatów jest dziedziną informatyki teoretycznej, zajmującą się głównie badaniem abstrakcyjnych maszyn wykorzystywanych w celu modelowania obliczeń. Automat to model, który przetwarza dane wejściowe poprzez wykonywanie przejść pomiędzy kolejnymi stanami zgodnie ze zdefiniowanym sposobem reagowania na poszczególne symbole. Automat najczęściej definiowany jest jako graf z oznaczonymi krawędziami i określonymi wierzchołkami początku i końca. Jednym z najważniejszych i najczęściej badanych modeli są automaty skończone, które charakteryzują się skończonym zbiorem stanów.

Jedną z najważniejszych klas automatów skończonych są deterministyczne automaty skończone (ang. *Deterministic Finite Automata*, DFA). W modelu tym dla każdego stanu oraz symbolu alfabetu wejściowego zdefiniowane jest dokładnie jedno przejście do kolejnego stanu. Dzięki tej własności działanie automatu jest jednoznaczne i w pełni przewidywalne, co znacząco upraszcza jego analizę oraz implementację.

W kontekście uczenia automatów wyróżnia się dwa główne podejścia: uczenie aktywne i uczenie pasywne. Uczenie pasywne polega na konstruowaniu modelu automatu wyłącznie na podstawie gotowego zbioru przykładów wejściowych, bez możliwości zadawania dodatkowych pytań czy testowania hipotez w trakcie procesu uczenia. W praktyce oznacza to, że algorytm otrzymuje skończony zbiór słów oznaczonych jako akceptowane lub odrzucane i na tej podstawie próbuje odtworzyć strukturę automatu, który najlepiej odzwierciedla obserwowane zachowanie systemu. Podejście pasywne jest szczególnie użyteczne w sytuacjach, w których brak jest dostępu do „czarnej skrzynki” systemu lub gdy interaktywne testowanie wszystkich możliwych sekwencji wejściowych jest niemożliwe lub kosztowne. Pomimo swojej prostoty, uczenie pasywne wiąże się z szeregiem trudności teoretycznych i praktycznych, w tym ograniczeniem informacji wynikającym z niekompletności danych, możliwością istnienia wielu automatów zgodnych z tym samym zbiorem próbek oraz problemem minimalizacji otrzymanego modelu.

Jednym z fundamentalnych wyników w teorii pasywnego uczenia języków formalnych było wykazanie, że klasa języków regularnych nie jest identyfikowalna w granicy wyłącznie na podstawie pozytywnych przykładów [1]. Istotnie ogranicza to możliwości pasywnego uczenia automatów skończonych bez dodatkowych założeń. Wynik ten miał istotny wpływ na dalszy rozwój wnioskowania gramatyk, wskazując na konieczność wykorzystywania zarówno przykładów pozytywnych, jak i negatywnych, bądź wprowadzania dodatkowych ograniczeń na strukturę danych uczących lub klasę rozważanych automatów.

W ostatnich latach problem pasywnego uczenia deterministycznych automatów skończonych pozostaje przedmiotem intensywnych badań. W jednej z nowszych prac autorzy koncentrują się na formalnej analizie problemu DFA-consistency, czyli określenia,

czy istnieje minimalny deterministyczny automat skończony, który akceptuje wszystkie pozytywne przykłady i odrzuca wszystkie negatywne przykłady dostarczone w zbiorze uczącym. Badając złożoność obliczeniową tego problemu oraz warianty wynikające z różnych ograniczeń na alfabet i strukturę danych uczących. Wykazano, że problem DFA-consistency jest NP-zupełny, nawet w przypadku alfabetów binarnych, co oznacza, że w ogólności nie istnieje znany algorytm wielomianowy rozwiązujący go dla wszystkich instancji [2].

Inne podejście prezentują prace, w których rekonstrukcja deterministycznych automatów skończonych realizowana jest poprzez redukcję problemu uczenia do problemów spełnialności logicznej (SAT). Przykładem takiego rozwiązania jest narzędzie DFAMiner [3], które konstruuje automat pośredni w postaci trójwartościowego automatu skończonego (3DFA), zawierającego stany akceptujące, odrzucające oraz stany typu nieistotne, umożliwiające dokładne rozpoznanie dostarczonych przykładów uczących. Następnie automat ten jest minimalizowany poprzez redukcję do problemu SAT, co pozwala na uzyskanie minimalnego automatu separującego, czyli deterministycznego automatu skończonego o najmniejszej możliwej liczbie stanów, który akceptuje wszystkie przykłady pozytywne i jednocześnie odrzuca wszystkie przykłady negatywne. Tego rodzaju automat nie musi w pełni określać języka docelowego, lecz jedynie rozdzielać (separować) dostarczone zbiory próbek. Przeprowadzone badania empiryczne wskazują, że tego typu podejście mogą znaczco przewyższać klasyczne metody uczenia pasywnego pod względem efektywności obliczeniowej. Jednocześnie skuteczność metod opartych na redukcji do SAT pozostaje silnie uzależniona od kompletności oraz spójności danych uczących, a w przypadku próbek niepełnych lub sprzecznych liczba potencjalnych modeli rośnie wykładniczo, co istotnie komplikuje proces uczenia.

Pomimo znacznego postępu w dziedzinie pasywnego uczenia DFA, większość istniejących metod zakłada, że automat uczyony jest konstruowany od podstaw na podstawie zbioru przykładów. W praktycznych zastosowaniach często spotyka się jednak sytuacje, w których dostępny jest częściowo zdefiniowany automat, zawierający brakujące stany, niepełne przejścia lub fragmentaryczną wiedzę o strukturze systemu. Tego rodzaju przypadki pojawiają się m.in. w inżynierii odwrotnej, analizie dziedziczonych systemów, rekonstrukcji protokołów komunikacyjnych oraz w procesach naprawy modeli formalnych.

Celem niniejszej pracy jest analiza problemu naprawy brakujących deterministycznych automatów skończonych na podstawie skończonego zbioru przykładów pozytywnych i negatywnych. Przez brakujący deterministyczny automat skończony rozumiany jest automat, w którym zbiór stanów oraz część przejść są określone poprawnie, natomiast pozostałe przejścia nie zostały zdefiniowane. Naprawa automatu polega na uzupełnieniu brakujących przejść w taki sposób, aby otrzymany automat był deterministyczny oraz zgodny z dostarczonym zbiorem przykładów. W rozważanym problemie zakłada się, że automat wejściowy jest dany z góry, a zbiór przykładów pozytywnych i negatywnych jest niesprzeczny, tzn. istnieje co najmniej jeden deterministyczny automat skończony, który jest zgodny zarówno z istniejącą strukturą automatu, jak i z dostarczonymi danymi uczącymi.

W pracy skoncentrowano się na teoretycznej analizie złożoności obliczeniowej problemu naprawy brakujących deterministycznych automatów skończonych. W szczególności wykazane zostanie, że rozważany problem jest NP-zupełny, a ponadto omówiona zostanie jego trudność w sensie klas parametryzowanych W[1] oraz W[2]. Oprócz wyników teoretycznych zaprezentowany zostanie algorytm, rozwiązujący ten problem w czasie lepszym niż podejście brute force, wykorzystujący skoki przez zdefiniowane krawędzie.

# Rozdział 2

## Teoria

### 2.1 Definicja problemu, framework

#### Definicja 2.1.1 - Deterministyczny automat skończony (DFA)

Deterministyczny automat skończony (DFA) to szóstka uporządkowana  $(Q, \Sigma, \delta, q_\lambda, \mathbb{F}_A, \mathbb{F}_R)$ , gdzie:

- $Q$  to skończony zbiór stanów,
- $\Sigma$  to skończony alfabet wejściowy,
- $\delta : Q \times \Sigma \rightarrow Q$  to funkcja przejścia,
- $q_\lambda \in Q$  to stan początkowy,
- $\mathbb{F}_A \subseteq Q$  to zbiór stanów akceptujących,
- $\mathbb{F}_R \subseteq Q$  to zbiór stanów odrzucających.

#### 2.1.1 Definicja problemu

#### Definicja 2.1.2 - Problem naprawienia częściowego DFA

Wejście: częściowy automat deterministyczny  $A = (Q, \Sigma, \delta, q_\lambda, \mathbb{F}_A, \mathbb{F}_R)$ , w którym:

- niektóre krawędzie w automacie mogły zostać usunięte, więc dla niektórych par  $(q, a) \in Q \times \Sigma$  funkcja  $\delta$  nie jest określona,
- niektóre stany  $q \in Q$  mogły zostać usunięte z automatu (brakujące stany), więc nie należą one ani do  $\mathbb{F}_A$ , ani do  $\mathbb{F}_R$ ,

oraz zbiory próbek  $S^+ \subseteq \Sigma^*$  (słowa akceptowane) i  $S^- \subseteq \Sigma^*$  (słowa odrzucane).

Wyjście: odpowiedź, czy istnieje uzupełnienie brakujących przejść, klasyfikacji stanów i ewentualne dodanie stanów tak, aby otrzymany automat był deterministyczny, posiadał najmniejszą możliwą liczbę stanów oraz akceptował wszystkie słowa z  $S^+$  i odrzucał wszystkie słowa z  $S^-$ . W przypadku istnienia, należy podać takie uzupełnienie.

## 2.1.2 Trywialność przypadku brakujących stanów

W rozważanej wersji problemu dopuszcza się dodawanie brakujących stanów. Jest to jednak przypadek trywialny, bo możemy ograniczyć maksymalną liczbę stanów w automacie do liczby stanów w drzewie prefiksowym zbudowanym z próbek - jeżeli automat jest naprawialny, to będzie to automat rozwiązujący problem. Rozmiar takiego drzewa możemy ograniczyć przez  $N = |S^+ \cup S^-| \cdot \max_{w \in S^+ \cup S^-} |w|$ . Możemy więc dla każdej liczby stanów  $n$  w zakresie  $[1, N]$  sprawdzać, czy istnieje naprawa automatu z dokładnie  $n$  stanami; od pewnej wartości  $n$  odpowiedź staje się pozytywna, co pozwala użyć wyszukiwania binarnego bez istotnej zmiany (i tak wykładniczej) złożoności.

Dlatego w dalszej części pracy zakładamy, że liczba stanów jest ustalona i nie rozważamy dodawania nowych.

## 2.1.3 Definicja problemu (uproszczona)

**Definicja 2.1.3 - Problem naprawienia częściowego DFA (uproszczony)**

**Wejście:** częściowy automat deterministyczny  $A = (Q, \Sigma, \delta, q_\lambda, \mathbb{F}_A, \mathbb{F}_R)$ , w którym dla pewnych par  $(q, a) \in Q \times \Sigma$  funkcja  $\delta$  nie jest określona, oraz zbiory próbek  $S^+ \subseteq \Sigma^*$  i  $S^- \subseteq \Sigma^*$ . Liczba stanów  $|Q|$  jest ustalona.

**Wyjście:** odpowiedź, czy istnieje uzupełnienie brakujących przejść i klasyfikacji stanów tak, aby otrzymany automat był deterministyczny, akceptował wszystkie słowa z  $S^+$  i odrzucał wszystkie słowa z  $S^-$ . W przypadku istnienia należy podać takie uzupełnienie.

## 2.2 NP-zupełność

### 2.2.1 Przynależność do NP

### 2.2.2 NP-trudność

## 2.3 FPT

### 2.3.1 W[1]-trudność

**Definicja 2.3.1 - Problem klik**

**Wejście:** graf nieskierowany  $G = (V, E)$ .

**Wyjście:** klika w grafie  $G$ , czyli podzbiór wierzchołków  $V' \subseteq V$  taki, że dla każdej pary wierzchołków  $u, v \in V'$  zachodzi  $(u, v) \in E$ .

Problem kliki należy do problemów NP-zupełnych.

**Definicja 2.3.2 - Problem k-klik**

Problem k-klik to zparametryzowana (*Fixed Parameter Traceability*) wersja problemu kliki, w której dodatkowo podana jest liczba całkowita  $k$  i należy odpowiedzieć, czy w grafie istnieje klika o rozmiarze co najmniej  $k$ .

**Wejście:** graf nieskierowany  $G = (V, E)$  oraz liczba całkowita  $k$ .

**Wyjście:** odpowiedź, czy w grafie  $G$  istnieje klika o rozmiarze co najmniej  $k$ , czyli podzbiór  $V' \subseteq V$  taki, że  $|V'| \geq k$  oraz dla każdej pary wierzchołków  $u, v \in V'$  zachodzi  $(u, v) \in E$ .

Problem k-klik należy do klasy W[1]-zupełnych problemów.

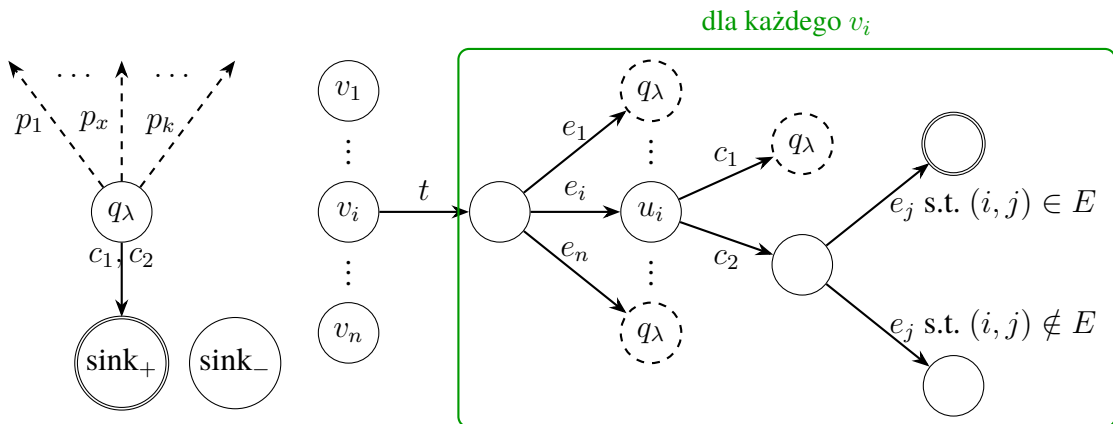
Pokażemy, jak dla dowolnego wejścia do problemu k-klik skonstruować automat oraz próbki, będące wejściem do problemu naprawienia częściowego DFA, tak aby rozwiązanie problemu naprawienia częściowego DFA istniało wtedy i tylko wtedy, gdy w grafie istnieje klika o rozmiarze co najmniej  $k$ . Dodatkowo pokażemy jak z rozwiązanej problemu naprawienia częściowego DFA wyrowadzić rozwiązanie problemu k-klik.

Dla  $|\Sigma| = O(n)$

Na rysunku 2.1 przedstawiona jest konstrukcja automatu dla redukcji z k-klik, korzystająca z alfabetu o rozmiarze zależnym od liczby wierzchołków grafu.

Każdy stan  $q_\lambda$  odpowiada temu samemu stanowi początkowemu automatu. Przejścia  $p_i$  oznaczone przerywaną linią odpowiadają brakującym przejściom w automacie. Każde przejście, które nie jest zaznaczone i nie wychodzi ze stanu  $\text{sink}_+$  lub  $\text{sink}_-$ , prowadzi do stanu odrzucającego  $\text{sink}_-$ . Niezaznaczone przejścia wychodzące ze stanów  $\text{sink}_+$  i  $\text{sink}_-$  prowadzą do tych samych stanów.

Część automatu zaznaczona ramką jest powielana dla każdego stanu  $v_i$ .



Rysunek 2.1. Konstrukcja automatu dla redukcji z k-klik, korzystająca z alfabetu o rozmiarze zależnym od liczby wierzchołków grafu

Idea konstrukcji:

Chcemy aby krawędzie  $p_i$  prowadziły do stanów  $v_i$ . Jeżeli krawędź  $p_x$  prowadzi do stanu  $v_i$ , interpretujemy to jako wybranie wierzchołka  $V_i$  jako  $x$ -ty wierzchołek w klicie.

$$\forall x \in \{1..k\} \exists i \in \{1..n\} \delta(q_\lambda, p_x) = v_i \quad (2.1)$$

Do tej samej kliki nie możemy wybrać tego samego wierzchołka wielokrotnie, więc musimy zagwarantować, że dla różnych przejść  $p_x$  i  $p_y$  wybieramy różne stany  $v_i$  i  $v_j$ .

$$\forall(x, y \in \{1..k\} \wedge x \neq y) \forall i, j \in \{1..n\} (\delta(q_\lambda, p_x) = v_i \wedge \delta(q_\lambda, p_y) = v_j) \implies i \neq j \quad (2.2)$$

Dodatkowo musimy zagwarantować, że wybrane wierzchołki tworzą klikę, czyli że każdy wybrany wierzchołek jest połączony z każdym innym wybranym wierzchołkiem.

$$\forall(x, y \in \{1..k\} \wedge x \neq y) \forall i, j \in \{1..n\} (\delta(q_\lambda, p_x) = v_i \wedge \delta(q_\lambda, p_y) = v_j) \implies (v_i, v_j) \in E \quad (2.3)$$

### Gwarancja prowadzenia brakujących krawędzi $p_x$ do wierzchołków $v_i$

Zagwarantowanie tego faktu opiera się na prostej obserwacji: jedyne krawędzie  $t$ , które nie prowadzą do stanu odrzucającego, znajdują się za wierzchołkami  $v_i$ . Oznacza to, że aby próbka mogła zostać zaakceptowana, musimy przejść przez krawędź  $p_x$  do któregoś ze stanów  $v_i$ , a następnie przez krawędź  $t$  do stanu akceptującego. W przeciwnym wypadku, w trakcie przechodzenia próbką po automacie, trafimy do stanu sink<sub>-</sub>, więc próbka zostanie odrzucona.

W takim przypadku, aby zagwarantować przejście krawędzią  $p_x$  do któregoś ze stanów  $v_i$ , dodajemy w każdej próbce literę  $t$  zaraz po literze  $p_x$ .

Jedynym wyjątkiem jest stan sink<sub>+</sub>. Wychodząc z niego krawędź  $t$  musi też prowadzić do sink<sub>+</sub> - w przeciwnym wypadku próbki (2.6) zostaną odrzucone gdy  $p_x, p_y, v_i, v_j$  takich, że  $(i, j) \notin E \implies \exists z \in \{1..n\} v_z = \delta(q_\lambda, p_x) \wedge z \neq i$ , ponieważ ze stanu  $v_z$  przejdziemy wtedy w automacie krawędzią  $t$  a następnie  $e_i$ , a  $z \neq i \implies \delta(\delta(v_z, t), e_i) = \text{sink}_+$ . Ta próbka nie oznacza niepoprawnego przypisana krawędzi (więc powinna zostać zaakceptowana), a wiemy że w naszej próbce występuje jeszcze jedno przejście krawędzią  $t$ , więc musi ono prowadzić do stanu sink<sub>+</sub>.

Możemy ten problem rozwiązać na 2 sposoby. Korzystając z faktu, że w próbce (2.6) są dokładnie 2 wystąpienia krawędzi  $t$ , możemy stworzyć alternatywny sink<sub>+</sub> (składający się z 2 stanów), który po pierwszym przejściu krawędzią  $t$  prowadzi do drugiego stanu sink<sub>+</sub>, a po drugim przejściu krawędzią  $t$  prowadzi do stanu odrzucającego sink<sub>-</sub>.

Alternatywną metodą jest odrzucenie prowadzenie krawędzi  $p_x$  do stanu sink<sub>+</sub> poprzez dodanie próbek odrzucających, które wymuszają prowadzenie krawędzi  $p_x$  do stanu odrzucającego:

$$\forall x \in \{1..k\} [p_x] \in S^- \quad (2.4)$$

### Wybór różnych stanów $v_i$ dla różnych przejść $p_x$

Aby uniemożliwić wybór tego samego  $v_i$  dla różnych przejść  $p_x$  oraz  $p_y$  wystarczy stworzyć próbki postaci:

$$\forall(x, y \in \{1..k\} \wedge x \neq y) \forall i \in \{1..n\} [p_x \ t \ e_i \ c_1 \ p_y \ t \ e_i \ c_1] \in S^+ \quad (2.5)$$

W ten sposób, jeżeli oba przejścia  $p_x$  i  $p_y$  prowadziłyby do tego samego stanu  $v_i$ , to po pierwszym przejściu krawędziami  $t \ e_i \ c_1$  trafilibyśmy do stanu  $q_\lambda$ , a następnie po drugim przejściu krawędziami  $t \ e_i$  trafilibyśmy do stanu odrzucającego  $q_\lambda$ , więc próbka zostałaby odrzucona.

Jeżeli jednak przejścia  $p_x$  i  $p_y$  prowadzą do różnych stanów  $v_i$  i  $v_j$ , to pierwsze lub drugie przejście krawędziami  $t \ e_i$  doprowadzi do stanu  $q_\lambda$ , a następnie przejście krawędzią  $c_1$  doprowadzi do stanu akceptującego sink<sub>+</sub>, więc próbka zostanie zaakceptowana.

**Gwarancja, że wybrane wierzchołki tworzą klikę** Aby zagwarantować, że wybrane wierzchołki tworzą klikę, tworzymy próbki wymuszające sąsiedztwo wybranych wierzchołków:

$$\forall(x, y \in \{1..k\} \wedge x \neq y) \forall i, j \in \{1..n\} [p_x t e_i c_1 p_y t e_j c_2 e_i] \in S^+ \quad (2.6)$$

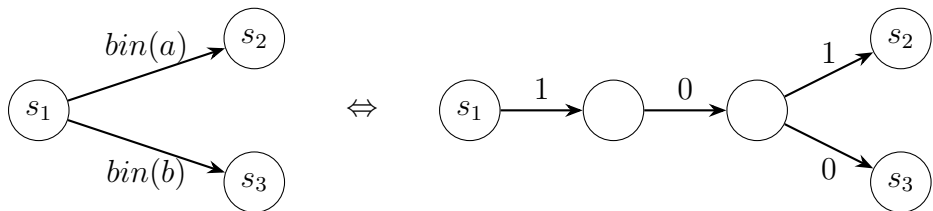
Jeżeli dany stan nie sprawdza wyboru wierzchołków  $V_i$  lub  $V_j$  w grafie, to któraś z wybranych krawędzi  $p_x$  lub  $p_y$  nie prowadzi do stanu  $v_i$  lub  $v_j$ . Wtedy przejście krawędziami  $t e_i$  lub  $t e_j$  doprowadzi do stanu akceptującego  $\text{sink}_+$ .

Jeżeli mamy jednak sytuację, w której  $\delta(q_\lambda, p_x) = v_i$  oraz  $\delta(q_\lambda, p_y) = v_j$ , to przejście krawędziami  $t e_i$  doprowadzi do stanu  $u_i$ , skąd krawędzią  $c_1$  trafimy do  $q_\lambda$ . Przejście krawędziami  $t e_j$  doprowadzi do stanu  $u_j$ . Ze stanu  $u_j$  przejście krawędziami  $c_2 e_i$  doprowadzi do stanu akceptującego tylko wtedy, gdy w oryginalnym grafie istnieje krawędź  $(v_j, v_i) \in E$ . W przeciwnym wypadku przejście krawędziami  $c_2 e_i$  doprowadzi do stanu odrzucającego.

**Dla  $|\Sigma| = 3$**

Aby zredukować liczbę potrzebnych liter z  $|\Sigma| = O(n)$  do  $|\Sigma| = 3$ , możemy zakodować każdą literę z oryginalnego alfabetu jako unikalny ciąg liter z alfabetu 2-literowego (rysunek 2.3). W tym celu możemy użyć kodowania binarnego, gdzie każda litera z oryginalnego alfabetu jest reprezentowana jako ciąg liter '0' i '1' o długości  $\lceil \log_2(n) \rceil$ , gdzie  $n$  to liczba unikalnych liter w oryginalnym alfabetie. Nadal będziemy korzystać z litery testowej  $t$

Ustalimy więc konwencję zapisu, w której dla danego  $a$  krawędź z etykietą  $bin(a)$  reprezentuje ciąg stanów połączonych krawędziami o etykietach odpowiadających kolejnym bitom w kodzie binarnym  $bin(a)$ . Jeżeli mamy wiele krawędzi  $bin$  wychodzących z tego samego wierzchołka, to ich krawędzie o tych samych etykietach stanowią tą samą krawędź. Na przykład, jeżeli mamy litery  $a$  oraz  $b$  reprezentowane przez 101 oraz 100, reprezentują one 4 krawędzie - najpierw ciąg dwóch, gdzie pierwsza ma etykietę 1, a druga 0 - następnie krawędzie 1 oraz 0 wychodzące z ostatniego wierzchołka (tak jak na rysunku 2.2).



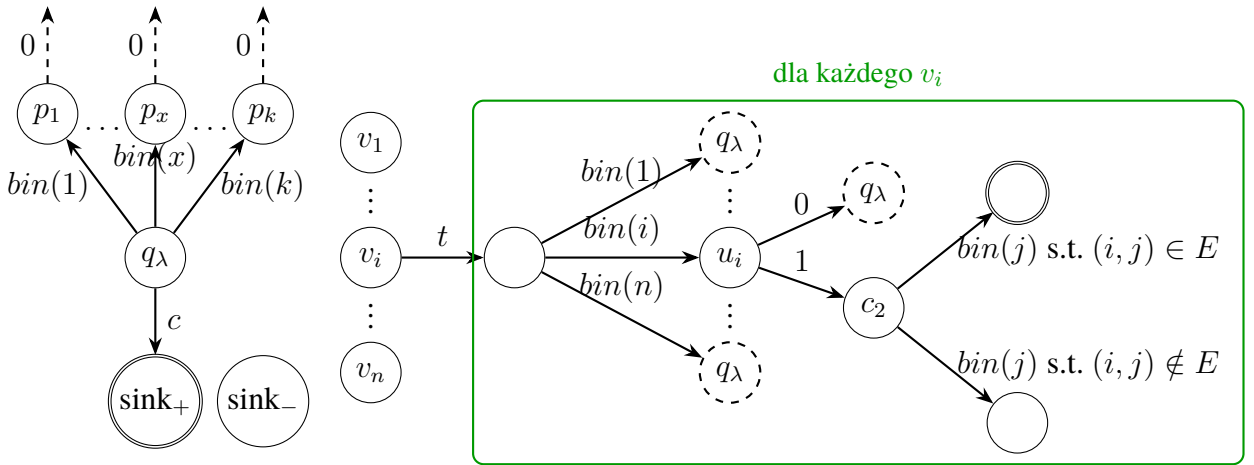
Rysunek 2.2. Przykład reprezentacji krawędzi z etykietą  $bin$ .

Idea działania oraz konstrukcja próbek pozostaje taka sama jak w przypadku alfabetu o rozmiarze  $O(n)$ , z tą różnicą, że każda krawędź jest teraz reprezentowana jako ciąg krawędzi zgodnie z powyższą konwencją.

W poniższym zapisie  $bin(a)$  oznacza ciąg liter reprezentujący literę  $a$  w kodzie binarnym.

**Gwarancja prowadzenia brakujących krawędzi do wierzchołków  $v_i$**

Zagwarantowanie tego faktu opiera się na tej samej obserwacji co w przypadku alfabetu o rozmiarze  $O(n)$ . Aby próbka mogła zostać zaakceptowana, musimy dwukrotnie



Rysunek 2.3. Konstrukcja automatu dla redukcji z  $k$ -klik, korzystająca z alfabetu o rozmiarze 3

przejść przez krawędź  $t$  - dodamy więc w każdej próbce literę  $t$  po każdym wyborze wierzchołka  $v_i$ .

Dodatkowo nadal musimy zapobiec prowadzeniu brakujących krawędzi do stanu  $\text{sink}_+$ . Jak uprzednio, robimy to poprzez liczenie ile razy przeszliśmy krawędzią  $t$ , lub poprzez dodanie próbek odrzucających:

$$\forall x \in \{1..k\} [bin(x) 0] \in S^- \quad (2.7)$$

#### Wybór różnych stanów $v_i$ dla różnych brakujących krawędzi

$$\forall (x, y \in \{1..k\} \wedge x \neq y) \forall i \in \{1..n\} [bin(x) 0 t bin(i) 0 bin(y) 0 t bin(i) 0] \in S^+ \quad (2.8)$$

#### Gwarancja, że wybrane wierzchołki tworzą klikę

$$\forall (x, y \in \{1..k\} \wedge x \neq y) \forall i, j \in \{1..n\} [bin(x) 0 t bin(i) 0 bin(y) 0 t bin(j) 1 bin(i)] \in S^+ \quad (2.9)$$

**Dla**  $|\Sigma| = 2$

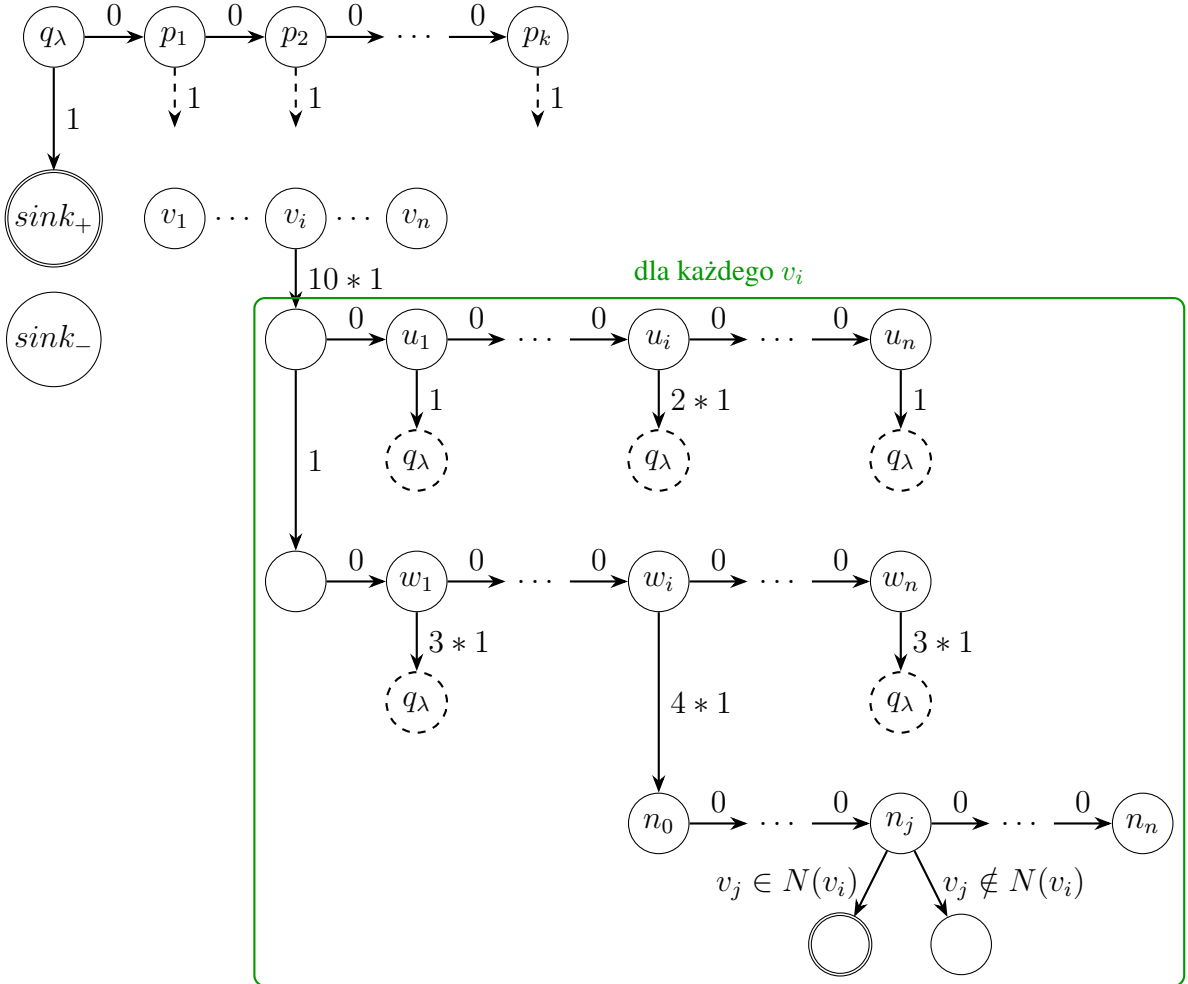
Rysunek 2.4 przedstawia konstrukcję automatu dla redukcji z  $k$ -klik, korzystającą z alfabetu o rozmiarze 2.

Konstrukcja próbek dla zagwarantowania wyboru różnych stanów  $v_i$  oraz zagwarantowania, że wybrane wierzchołki tworzą klikę pozostaje analogiczna do poprzednich. Nie posiadamy już litery testowej  $t$ , więc musimy zmodyfikować zagwarantowanie prowadzenia brakujących krawędzi do wierzchołków  $v_i$ .

Nowa idea automatu (rysunek 2.4) opiera się na przypisywaniu literom wartości od 1 do  $n$ , a następnie kodowaniu ich w systemie unarnym. W ten sposób każda litera jest reprezentowana jako ciąg liter 0.

W poniższym zapisie  $un(a)$  oznacza reprezentację litery  $a$  w kodzie unarnym. Aby rozróżnić przejścia literą 1, będziemy je składać z różnych wielokrotności 1. Dlatego ustalamy zapis  $d * a$  jako powtórzenie litery  $a$  dokładnie  $d$  razy.

**Gwarancja prowadzenia brakujących krawędzi do wierzchołków  $v_i$**  Zaczniemy od zagwarantowania, że brakujące krawędzie nie prowadzą do żadnego stanu akceptującego, w



Rysunek 2.4. Konstrukcja automatu dla redukcji z  $k$ -klik, korzystająca z alfabetu o rozmiarze 2

tym do stanu  $\text{sink}_+$ .

$$\forall x \in \{1..k\} [un(x) 1] \in S^- \quad (2.10)$$

Nie mamy już litery testowej  $t$ , więc musimy zmodyfikować automat oraz próbki tak, aby wymusić przejście brakującą krawędzią do któregoś ze stanów  $v_i$ . Możemy zastąpić literę  $t$  specjalnym ciągiem  $10 * 1$ , który nie prowadzi do  $\text{sink}_-$ . Wtedy ten sam串  $10 * 1$  wystąpi dwukrotnie w każdej próbce, zaraz po przejściu brakującą krawędzią.

Weźmy dowolną próbkę (2.12), oraz odpowiadające jej  $x, y, i, j$ . Jeżeli brakująca krawędź odpowiadająca stanowi  $p_y$  nie prowadzi do żadnego ze stanów  $v_i$ , to nie istnieje żaden inny stan do którego mogłaby ona prowadzić - musi prowadzić do stanu, po którym następuje przejście  $11 * 1$ , jedyne takie przejścia to  $v_+$  oraz  $\text{sink}_+$ . Jednak przejście do  $\text{sink}_+$  zostało wykluczone próbką (2.10), więc pozostaje tylko przejście do któregoś ze stanów  $v_+$ .

Jeżeli brakująca krawędź odpowiadająca stanowi  $p_x$  nie prowadzi do żadnego ze stanów  $v_+$ , to może prowadzić tylko do stanów po których następuje przejście  $10 * 1$ . Jedynymi takimi stanami są stany  $v_+$ ,  $\delta(v_+, 1)$  oraz  $\text{sink}_+$  (który został wykluczony próbką (2.10)). Przejście do stanu  $\delta(v_+, 1)$ , a następnie kolejnymi literami z próbki -  $un(i)$  doprowadzi nas

do krawędzi  $3 * 1$  lub  $4 * 1$ , natomiast w próbce występuje  $2 * 1$ , a po nim  $un(y)$  - czyli litera 0. To przejście zostanie więc zawsze odrzucone. Pozostaje więc tylko przejście do któregoś ze stanów  $v_i$ .

#### **Wybór różnych stanów $v_i$ dla różnych brakujących krawędzi**

$$\forall(x, y \in \{1..k\} \wedge x \neq y) \forall i \in \{1..n\} [un(x) 11 * 1 un(i) 2 * 1 un(y) 11 * 1 un(i) 2 * 1] \in S^+ \quad (2.11)$$

#### **Gwarancja, że wybrane wierzchołki tworzą klikę**

$$\forall(x, y \in \{1..k\} \wedge x \neq y) \forall i, j \in \{1..n\} [un(x) 11 * 1 un(i) 2 * 1 un(y) 12 * 1 un(j) 4 * 1 un(i) 1] \in S^+ \quad (2.12)$$

### **2.3.2 W[2]-trudność**

### **2.3.3 Przynależność do W[P]**

# Rozdział 3

## Algorytmy

### 3.1 Podejście Brute Force

Podejście brute force polega na sprawdzeniu całej przestrzeni przeszukiwań, tzn. zapełnienia brakujących przejść w automacie każdą możliwą kombinacją, a następnie zasymulowania każdej z próbek i sprawdzeniu czy kończy w stanie zgodnym z danymi wejściowymi. Algorytm kończy działanie w momencie znalezienia właściwej kombinacji.

#### Złożoność obliczeniowa

Czas algorytmu wynosi  $\mathcal{O}(N^k \cdot M \cdot |S|)$ , gdzie  $N$  to liczba stanów,  $k$  to liczba brakujących przejść,  $M$  to maksymalna długość próbki, a  $|S|$  to liczba próbek.

### 3.2 Algorytm ze skokami (Jump Tables)

Algorytm ze skokami stanowi optymalizację symulacji przechodzenia próbką po automacie, z algorytmu Brute Force. Jego głównym celem jest zredukowanie liczby krawędzi, które muszą być przetworzone podczas weryfikacji próbki zautomatem.

Możemy zaobserwować, że przechodzenie po *znanach* krawędziach - czyli takich przejściach które dostaliśmy na wejściu - może często prowadzić do redundantnych obliczeń, ponieważ występują one często w automacie, a utworzone z nich ścieżki są jednoznacznie określone dla dowolnej wersji naprawionego automatu.

Dlatego też konstrukcja algorytmu opiera się na stworzeniu struktury, która dla każdego możliwego sufiksu próbek oraz każdego stanu automatu, pozwala na natychmiastowe wyznaczenie stanu docelowego - osiągalnego przy użyciu wyłącznie *znanych* krawędzi, przeskakując przy tym możliwie najdłuższy fragment podanego sufiksu.

Do algorytmu wprowadzany jest etap wstępного przetwarzania, gdzie opisana struktura jest wyliczana w postaci tablicy skoków. Następnie, podczas walidacji automatu, przechodząc próbką po automacie korzystamy z tablicy skoków, aby przeskoczyć fragmenty składające się ze *znanych* krawędzi.

W efekcie wykonamy jedynie tyle kroków, ile jest *brakujących* krawędzi na ścieżce odpowiadającej danej próbce w automacie.

## Budowa tablic skoków

Tablice skoków budowane są niezależnie dla zbioru przykładów pozytywnych oraz negatywnych. Dla każdej próbki  $w$  o długości maksymalnie  $L$  konstruowana jest tablica  $DP$ , w której wpis  $DP[i][q]$  opisuje efekt przetworzenia najdłuższego możliwego fragmentu próbki  $w$ , zaczynając od pozycji  $i$  w stanie  $q$ , bez użycia brakujących przejść.

---

### Algorithm 1: Budowa tablic skoków

---

**Input:** Automat  $A = (Q, \Sigma, \delta, q_0, F)$ , zbiór próbek  $S$

**Output:** Tablica skoków  $JT$

**foreach** próbka  $w \in S$  **do**

```

     $L \leftarrow |w|;$ 
    Utwórz tablicę  $DP[0 \dots L][0 \dots |Q| - 1]$ ;
    foreach stan  $q \in Q$  do
         $DP[L][q] \leftarrow (q, L);$ 
    for  $i \leftarrow L - 1$  to 0 do
        foreach stan  $q \in Q$  do
            if  $\delta(q, w[i])$  jest nieokreślone then
                 $DP[i][q] \leftarrow (q, i);$ 
            else
                 $q' \leftarrow \delta(q, w[i]);$ 
                 $DP[i][q] \leftarrow DP[i + 1][q'];$ 
    Dodaj  $DP$  do  $JT$ ;
```

**return**  $JT$

---

## Walidacja automatu z użyciem tablic skoków

Po skonstruowaniu tablic skoków algorytm wykorzystuje je podczas walidacji każdego kandydata. Zamiast symulować próbki krok po kroku, algorytm wykonuje skoki pomiędzy pozycjami, aż napotka fragment zależny od brakującego przejścia.

---

**Algorithm 2:** Walidacja automatu z wykorzystaniem tablic skoków

---

**Input:** Automat  $A$ , próbki  $S$ , tablica skoków  $JT$ , oczekiwany wynik  $b$   
**Output:** true jeśli automat jest zgodny z próbками, false w przeciwnym razie

**foreach** próbka  $w_i \in S$  **do**

$q \leftarrow q_0, pos \leftarrow 0;$   
**while**  $pos < |w_i|$  **do**  
     $(q', pos') \leftarrow JT[i][pos][q];$   
    **if**  $(q', pos') = (q, pos)$  **then**  
        **if**  $\delta(q, w_i[pos])$  jest nieokreślone **then**  
            Przerwij symulację tej próbki;  
         $q \leftarrow \delta(q, w_i[pos]);$   
         $pos \leftarrow pos + 1;$   
    **else**  
         $q \leftarrow q', pos \leftarrow pos';$   
    **if**  $(q \in F) \neq b$  **then**  
        **return** false;

**return** true

---

### Integracja z algorytmem pełnego przeszukiwania

Algorytm ze skokami nie modyfikuje samej strategii przeszukiwania przestrzeni możliwych uzupełnień brakujących przejść. Zastępuje on jedynie klasyczną procedurę walidacji automatu zoptymalizowaną wersją wykorzystującą tablice skoków. Dzięki temu zachowana zostaje pełna poprawność algorytmu brute force, przy jednoczesnym istotnym zmniejszeniu czasu weryfikacji pojedynczego kandydata w praktyce.

### Analiza wydajności

Czas budowy tablic skoków wynosi  $\mathcal{O}(|S| \cdot M \cdot N)$ , gdzie  $|S|$  to liczba próbek,  $M$  to maksymalna długość próbki, a  $N$  to liczba stanów automatu.

Z założeń wynika, że przy walidacji próbki wykonamy tyle kroków, ile jest brakujących przejść na ścieżce odpowiadającej danej próbce w automacie. W najgorszym przypadku, gdy wszystkie przejścia są brakujące lub co drugie przejście jest brakujące, czas walidacji pozostaje  $\mathcal{O}(M)$ . W praktyce jednak, dla automatu z niewielką liczbą brakujących przejść, czas ten może być znacznie mniejszy.

## 3.3 Heurystyka naprawy automatu z losowymi restartami

Heurystyka oparta jest na algorytmie hill climbing [4] z losowymi restartami, w którym każda modyfikacja przejścia automatu oceniana jest poprzez globalną funkcję celu równą liczbie próbek naruszających specyfikację wejściową.

# Rozdział 4

## Implementacja

Program został zaimplementowany w C++ 15. Kod jest gotowy do pobrania z publicznego repozytorium na github:

- <https://github.com/PatrykFlama/PracaInz>

Kod jest w folderze programy, w pliku main.cpp można konfigurować liczbę stanów, rozmiar alfabetu, liczbę próbek oraz ich długość, wariancję długości próbek, liczbę brakujących krawędzi, typ automatu oraz liczbę testów i wybrać algorytmy do testowania. Kod można uruchamiać za pomocą Makefile.

# Rozdział 5

## Eksperymenty

### 5.1 Środowisko

Testy zostały wykonane na środowisku o poniższych parametrach:

- System:
- Procesor:
- Architektura:
- Szybkość procesora:

### 5.2 Sposób testowania

Testy przeprowadzaliśmy na stałych parametrach, jedynie badany parametr jest zmieniany. Automat oraz próbki przygotowywaliśmy w podany sposób:

- generowaliśmy losowy automat pełny(posiadający przejście dla każdego symbolu alfabetu w każdym stanie),
- na podstawie tak wygenerowanego automatu generowaliśmy losowe próbki,
- losowo usuwaliśmy ustaloną liczbę przejść z automatu, które są zawarte w próbce lub próbkach.

Dzięki temu automatycznie wykluczamy wszystkie przypadki przejść w automacie, które mogłyby zostać poprowadzone w dowolny sposób i zakłócać testowanie.

Przy rysowaniu wykresów średni czas wykonania liczyliśmy na podstawie okna przesuwnego, tak żeby zredukować szum.

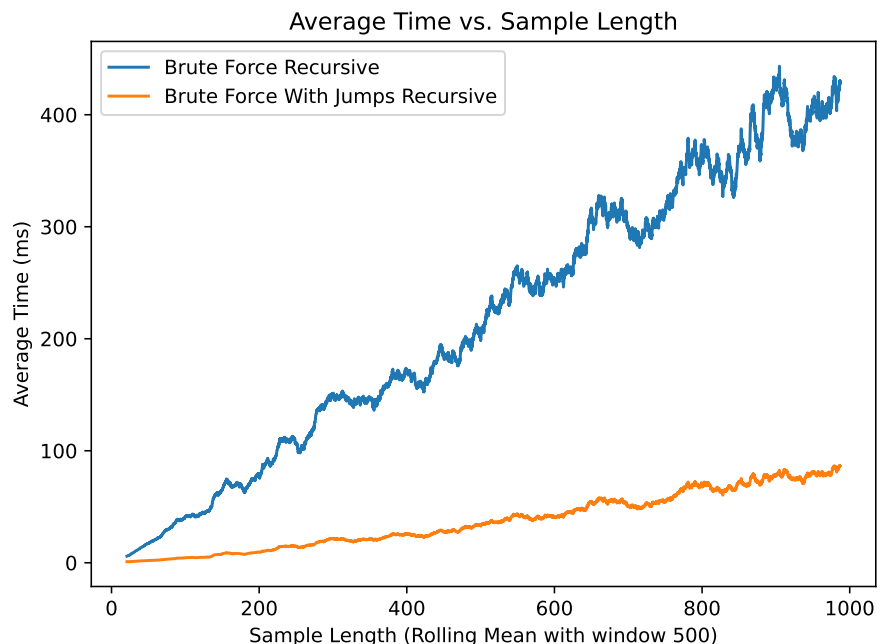
W badaniach pominięto wyniki heurystyki, ponieważ jej czas wykonania był znacznie dłuższy w porównaniu z pozostałymi algorytmami. W praktyce uniemożliwiło to przeprowadzenie testów dla tych samych zakresów parametrów oraz czytelne przedstawienie wyników na wspólnych wykresach.

## 5.3 Wyniki

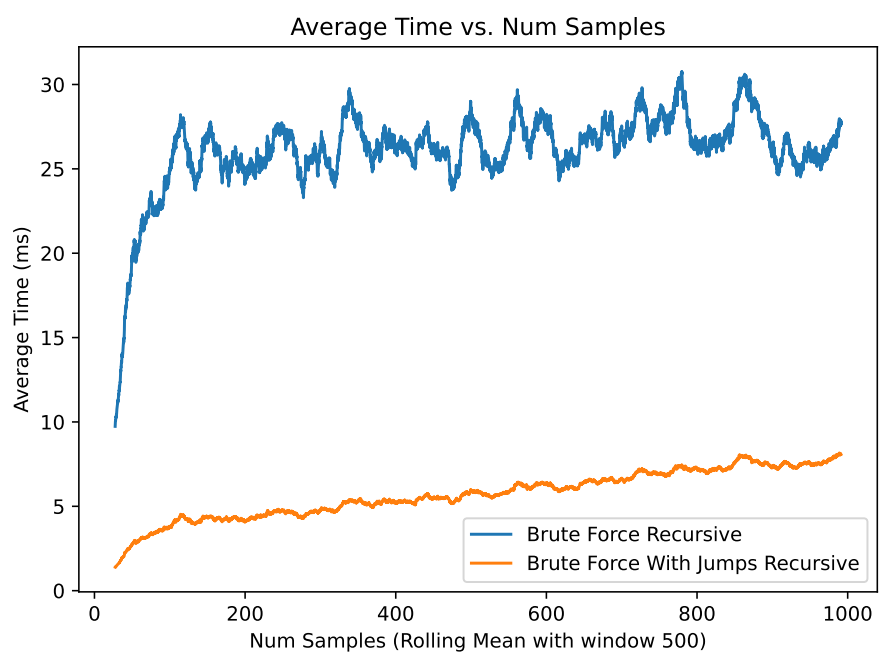
Na wykresie 5.1 widoczny jest wzrost czasu działania obu algorytmów wraz ze zwiększeniem długości próbek. Algorytm naiwny charakteryzuje się szybkim przyrostem czasu wykonania, osiągając dla największych długości próbek wartości kilkukrotnie wyższe niż algorytm ze skokami. Algorytm ze skokami wykazuje stabilniejszy przebieg oraz wolniejsze tempo wzrostu, co wskazuje na jego lepszą skalowalność względem długości próbek.

Na wykresie 5.2, w przypadku algorytmu ze skokami obserwowany jest niemal liniowy wzrost czasu działania wraz ze wzrostem liczby próbek. Algorytm naiwny wykazuje nieregularne zachowanie w postaci skoków czasowych, co może być efektem rekurencyjnego przeszukiwania. W porównaniu z testem zmiany długości próbek, wpływ liczby próbek na czas wykonania jest wyraźnie mniejszy.

Na podstawie przeprowadzonych testów można stwierdzić, że algorytm ze skokami jest istotnie szybszy od algorytmu naiwnego dla badanych konfiguracji. Uzyskane wyniki potwierdzają jego przewagę wydajnościową oraz lepszą skalowalność zarówno względem długości, jak i liczby próbek.



Rysunek 5.1. Średni czas wykonania algorytmu w zależności od długości próbek, liczony na oknie przesuwnym 500. Parametry: 20 stanów, 30 próbek, alfabet 5-symbolowy, 4 brakujące krawędzie, wariancja długości próbek : 0,2, długość próbek z zakresu [30,1000].



Rysunek 5.2. Średni czas wykonania algorytmu w zależności od liczby próbek, liczony na oknie przesuwnym 500. Parametry: 20 stanów, liczba próbek z zakresu [10,1000], alfabet 5-symbolowy, 4 brakujące krawędzie, wariancja długości próbek: 0,2, długość próbek: 30.

# Rozdział 6

## Podsumowanie

Przeprowadzone w niniejszej pracy eksperymenty wskazują, że zaproponowany algorytm ze skokami stwarza potencjalne możliwości dalszej optymalizacji, w szczególności w zakresie zapotrzebowania na pamięć. Jednak nie badaliśmy tej kwestii dokładnie, należałoby zrobić odrębną analizę tego zagadnienia.

Istotnym kierunkiem dalszych badań jest również analiza wpływu struktury automatu na czas wykonania algorytmów. W szczególności interesujące wydaje się zbadanie automatu z różną ilością spójnych składowych.

Ponadto, w niniejszej pracy wykazano, że rozważany problem jest  $W[1]$ -trudny oraz  $W[2]$ -trudny. Wyniki te pozwalają na umiejscowienie badanego zagadnienia w hierarchii klas złożoności parametryzowanej oraz wskazują na istotne ograniczenia możliwości skonstruowania algorytmów efektywnie parametryzowanych. Jednocześnie zasadne wydaje się podjęcie dalszych badań zmierzających do formalnego określenia, czy problem ten jest również  $W[P]$ -trudny, a także czy należy on do klasy  $W[P]$ , co umożliwiłoby pełniejszą charakterystykę jego własności teoretycznych.

# Bibliografia

- [1] E. M. Gold, „Language Identification in the Limit,” *Information and Control*, s. 447–474, 1967.
- [2] J. Lingg, M. de Oliveira Oliveira i P. Wolf, „Learning from Positive and Negative Examples: New Proof for Binary Alphabets,” *arXiv preprint*, 2022.
- [3] D. Dell’Erba, Y. Li i S. Schewe, „DFAMiner: Mining minimal separating DFAs from labelled samples,” *arXiv preprint*, 2024.
- [4] S. Russell i P. Norvig, *Artificial Intelligence: A Modern Approach*, 3 wyd. Prentice Hall, 2009.
- [5] M. Cygan, F. V. Fomin, Ł. Kowalik, D. Lokshtanov, D. Marx, M. Pilipczuk, M. Pilipczuk i S. Saurabh, *Parameterized Algorithms*. Springer, 2016.
- [6] J. Flum i M. Grohe, *Parameterized Complexity Theory*. Springer, 2006.

# **Dodatek A**

## **Aneks**

### **A.1 Podział pracy**

Julia Cygan oraz Patryk Flama wspólnie opracowali problem badawczy. Patryk Flama w przeważającej mierze rozwinał część teoretyczną pracy, w szczególności dowody twierdzeń. Prace implementacyjne były realizowane wspólnie. Julia Cygan odpowiadała za implementację algorytmu ze skokami oraz heurystykę, natomiast Patryk Flama za implementację algorytmu naiwnego. Część implementacji miała charakter eksploracyjny i nie została bezpośrednio wykorzystana w treści pracy. Eksperymenty obliczeniowe zostały przeprowadzone wspólnie przez autorów. Pracę dyplomową w przeważającej części opracowała Julia Cygan.